

內 容 提 要

本書是根據蘇聯中央電工研究院論文集第二集內的數篇論文編譯而成，它介紹了蘇聯 400 千伏線路的相差動高頻保護裝置，對我國從事 330 千伏和 650 千伏高壓線路繼電保護設計和運行方面的工程技術人員頗有參考價值。

蘇聯 400 千伏線路的相差動高頻保護裝置

劉 藝 光 編

*

1695D469

水利電力出版社出版（北京西郊科學路二號）

北京市審刊出版業營業許可證字第 015 号

北京市通州区印刷廠印 刷 新華書店發行

*

787×1092^{1/16}開本 * 1/16 印張 * 18千字

1958年12月北京第1版

1959年3月北京第2次印刷(2101—4,920冊)

統一書號：15143·1331 定價(第11類)0.18元

苏联400千伏线路的 相差动高频保护装置

刘 薮 光 编

水利电力出版社

介紹苏联 400 千伏線路的相差動 高頻保護裝置

对于 400 千伏長距離輸電線路的繼電保護，主要困難在於輸電線路在運行和故障時具有特殊的參數。蘇聯在這方面作了許多研究工作。根據蘇聯研究的結果指出，長距離輸電線路具有以下特點：

1) 在長距離輸電線路上，往往採用縱向補償電容器，以提高線路的輸送容量和系統的穩定性。當線路具有縱向補償電容器時，將破壞短路阻抗隨短路點距離變化關係的單純性，同時在短路故障的過渡歷程中促使產生高次諧波和低次諧波電流，其數值與基波電流大小相近，甚至大於基波電流。此外，由於裝設有保護串聯電容器用的放電間隙和短路遮斷器^①，使線路的阻抗值和相角的變化更趨於複雜。

2) 由於長距離輸電線路與大電力系統相連接，在很多情況下，短路電流的數值將非常大。同時，由於線路內串有補償電容器，線路的總阻抗將變得很小，即是在很遠點短路，短路電流仍然很大；但若放電間隙或短路遮斷器將串聯電容器短路，則線路的阻抗將變得很小，短路電流亦將變得很小，甚至於小於正常負荷電流。由此可見，長距離輸電線上的最大短路電流和最小短路電流之比可能達到非常大的數值。相應地，正常電壓與在被保護線路末端短路時的殘余電壓之比亦可能達到非常大的數值。例如，蘇聯古比雪夫—莫斯科 400 千伏輸電線上，

① 當流經串聯電容器的短路電流值相當大時，電容器元件之間的電荷量度相應增加，有可能將電容器元件打穿，為此須裝設放電間隙和短路遮斷器。當短路電流值大於某一數值時，利用放電間隙的擊穿將電容器短路，以防止電容器極端承受高電壓，同時利用短路遮斷器的自動短接，以消除放電間隙的擊穿放電。

最大短路电流与最小短路电流之比可能大于1.5，而末端短路时的残余电压之比可能大于1.5

3)在正常情况下，线路两侧的电动势相角差很大，为保证电力系统并列运行的稳定性，要求快速切除故障部分。例如，古比雪夫—莫斯科400千伏输电线路的动稳定计算指出：在最大负荷情况下切除线路相间短路的最大允许时间不应超过0.12秒。为保证系统的动稳定，在设计中规定继电保护装置的动作时间不应大于0.04秒。

4)由于线间及线对地间具有较大的电容，充电电流往往大于短路电流，这就使继电保护装置很难判别故障情况。

5)线路阻抗角大，这就容易发生谐振使短路过渡过程拖长，尤其在串联电容的线路上，这种现象更为严重。由于过渡过程的拖长，将影响继电保护装置的快速动作。

但线路阻抗角大也有其优点，对于区别正常情况和故障情况有很大的方便。

6)当系统产生振荡时，线路两侧电势的相角差很大，因此要求继电保护装置即使在两侧电势相角差达 180° 时亦不产生动作。

7)当线路上采用单相自动重合闸装置时，要求继电保护装置能长期处于非全相运行情况下运行，为此，在考虑非全相运行的线路上，继电保护装置很难利用负序启动，有时连零序启动也很难利用。

8)当线路上装设有串联补偿电容器时，电容器本身内部短路以及其保护放电间隙动作，都将影响线路的不对称情况，这就使继电保护装置难于有选择性地动作。此外，由于与受电系统连接的变压器容量非常大，当受电系统发生故障时，对长距离输电线路的主干线有很大影响，使继电保护装置也难于达到

有选择性地动作。

根据以上这些特点指出，对于長距离輸电綫路繼電保护裝置不仅从数量上提出了特殊的要求，而且从質量上也提出了特殊的要求。苏联在設計古比雪夫—莫斯科400千伏輸电綫路时，在繼電保护方面作了很多研究工作，并研究出适用于長距离輸电綫路的新型相差动高頻保护裝置、新型方向高頻保护裝置和新型距离保护裝置。

在古比雪夫—莫斯科400千伏的主干綫及环形綫路上，采用相差动高頻保护作为保护所有短路故障的主要保护。用在400千伏环形綫路上的相差动高頻保护裝置（ДФ3-400K型）是利用ДФ3-2型相差动高頻保护裝置改裝的；为了加速保护裝置的动作，將ДФ3-2型保护裝置的接綫图作了一些不大的改进。用在400千伏主干綫上的相差动高頻保护裝置采用了新型的相差动高頻保护裝置（ДФ3-400型）。这种新型相差动高頻保护裝置針對長距离輸电綫路的上述特点作了很多技术上的措施。例如，启动元件采用了以負序电压为主的复式相序启动元件，这种启动元件与ДФ3-2型所采用的以負序电流为主零序电流为輔的相序启动元件比較，有它显著的优越性，它可以滿足于長距离輸电綫路保护裝置的选择性和灵敏度的要求。此外，新型相差动高頻保护裝置的高頻发訊器操作元件和电流相位比較元件也都有很大改进。在高頻发訊器操作元件上加裝綫路电容电流补偿裝置和频率濾过器，这样即可避免綫路电容电流和过渡过程中产生的諧波对保护裝置的影响。在电流相位比較元件上亦采取了加速动作時間的措施。

由于新型相差动高頻保护裝置采用了一系列的技术措施，不但使保护裝置能够正确反应綫路故障，而且使保护裝置的动作時間加速到0.03~0.04秒（ДФ3-2型的动作時間为0.06~

0.08秒），这就使得新型相差动高频保护裝置能够胜任400千伏線路的主要保护的任务。

由于在古比雪夫—莫斯科400千伏線路上，对繼電保護裝置的快速动作及可靠性提出了严格的要求，这就有必要采用第二套快速动作的保护裝置作为主要保护的后备。

在古比雪夫—莫斯科400千伏線路上，采用方向高頻保護裝置作为保护所有不对称短路故障的后备保护（第二套快速动作保护）。这种保护裝置是采用相灵敏接綫方式的新型方向高頻保護，苏联电站部中央电工科学研究所試驗所在1950年即已开始試制这种新型方向高頻保護，現已試制成功并已用在古比雪夫—莫斯科400千伏線路上。

在古比雪夫—莫斯科400千伏輸電線路上，除了采用相差动高頻保護作为主要保护和方向高頻保護作为后备保护而外，还裝設了下列的后备和輔助保护裝置：

- 1) 保护相間短路的一段式方向距离保护裝置(帶有时限)；
- 2) 保护平行線路的相間短路的橫差动方向保护裝置，并作为上述距离保护裝置的启动元件；
- 3) 保护相間短路的电流速断裝置(假設在線路上有条件裝設电流速断裝置时)；
- 4) 接于零序濾過器上的、快速动作和帶时限动作的电流保护和方向电流保护裝置(具有不同的灵敏度)；
- 5) 当線路兩相長期运行时，利用單相自動重合閘裝置(OAПB)的选相元件作为接地短路的后备保护，此选相元件是由具有混合式特性圓的阻抗繼電器所構成。

由以上的簡單介紹，可以大致了解400千伏長距離輸電線路繼電保護裝置的一般特点，并明了新型相差动高頻保護裝置在保护長距离輸電線路上所起的重要作用。

下面介紹苏联电站部中央电工科学研究所制造的新型相差动高頻保护裝置(ДФ3-400型)。

图1表示新型相差动高頻保护裝置的交流回路展开图, 图中a)为启动元件, b)为高頻发訊器操作元件, c)为电压回路斷續閉鎖裝置。

图2表示新型相差动高頻保护裝置的直流回路展开图, 图中a)为直流操作回路, b)为电流相位比較元件, c)为信号回路。

下面分別介紹各元件的構造和特性:

1)启动元件

启动元件采用了以負序电压为主的复式相序启动元件, 即 $I_p = f(|\dot{U}_2 - \dot{I}_2 Z_{2k}|, |3\dot{I}_0 - 3\dot{U}_0 Y_{0k}|)$ 。

式中 \dot{U}_2 和 \dot{U}_0 ——裝設保护裝置處的負序电压和零序电压;

\dot{I}_2 和 \dot{I}_0 ——裝設保护裝置處的負序电流和零序电流;

Z_{2k} 和 Y_{0k} ——启动元件补偿裝置的阻抗和电导。

图1中, $C_2, R_2, C_0 R_0$ 以及 TKII 組成 $U_{2p} = |\dot{U}_2 - \dot{I}_2 Z_{2k}|$ 电阻-电容式的負序濾過器, 經過穩定变压器 CTII 和氧化銅整流器 B1 接至极化繼电器 IIP 1 和 IIP 2 的綫圈上。电容 C_0 和饱和变压器 THII 組成 $3I_{0p} = |3\dot{I}_0 - 3\dot{U}_0 Y_{0k}|$ 零序濾過器, 經過氧化銅整流器 B 2 接至极化繼电器 IIP 1 和 IIP 2 的綫圈上。

上述負序濾過器中之 $\dot{I}_2 Z_{2k}$ 一項是为补偿綫路兩端負序电压的不相等而設置的。这种兩端負序电压不一致的現象可能發生于保护区外部短路、被保護綫路帶電投入、綫路非全相运行等故障情况和运行情况。

Z_{2k} 值的选定应按照在被保护区外短路时使被保護綫路兩端的兩個半套保护裝置中所反应的負序电压值相等。若以母綫流向被保護綫路为电流的正方向, 則滿足上述要求的条件应为:

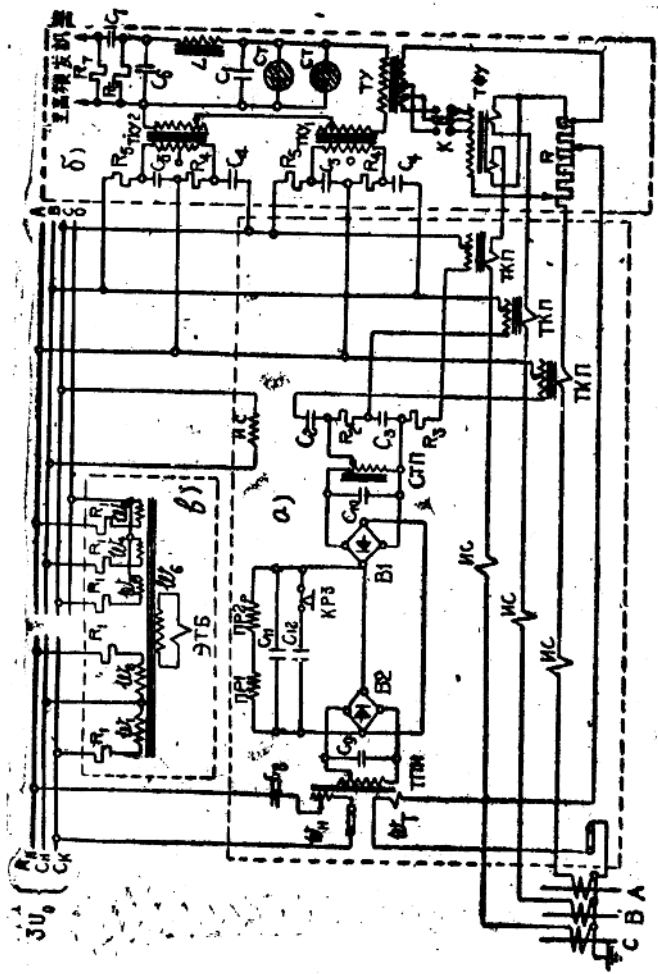
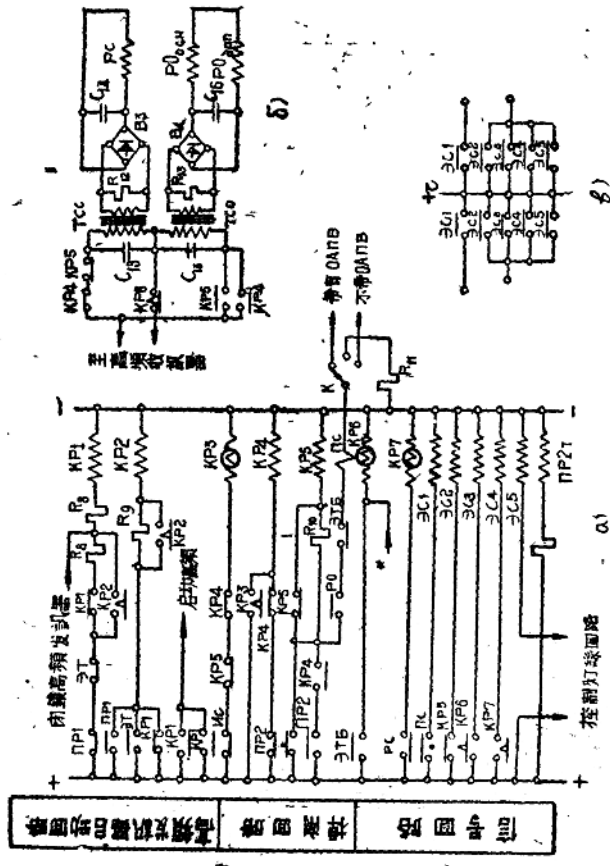


图1 保护装置的交流回路展开图
a)启动元件; b)高频率继电器操作元件; c)电压回路断续器配接装置。



①直接操作回路；②)电流相位比较元件；③)信号回路。*一从电压互感器操作隔离开关控制键的闭锁接点进行闭锁。

$$\dot{U}_{2m} - \dot{I}_{2m} Z_{2k} = \dot{U}_{2n} + \dot{I}_{2n} Z_{2k}$$

即 $Z_{2k} = \frac{\dot{U}_{2m} - \dot{U}_{2n}}{\dot{I}_{2m} + \dot{I}_{2n}}$ (1)

式中 \dot{U}_{2m} 和 \dot{U}_{2n} —— 被保护线路两端的负序电压, U_{2m} 表示离短路点远的一侧的负序电压, U_{2n} 表示离短路点近的一侧的负序电压。

\dot{I}_{2m} 和 \dot{I}_{2n} —— 被保护线路两端的负序电流, I_{2m} 表示离短路点远的一侧的负序电流, I_{2n} 表示离短路点近的一侧的负序电流。

从线路的四端网络可知:

$$\dot{U}_{2m} = A\dot{U}_{2n} + B\dot{I}_{2n}$$

$$\dot{I}_{2m} = C\dot{U}_{2n} + D\dot{I}_{2n}$$

式中

$$A = D = \operatorname{ch} \theta$$

$$B = Z_{oA} \operatorname{sh} \theta$$

$$C = \frac{1}{Z_{oA}} \operatorname{sh} \theta$$

$$\theta = \sqrt{(R + j\omega L)j\omega C}$$

$$Z_{oA} = \sqrt{\frac{R + j\omega L}{j\omega C}}$$

并知 $A^2 - BC = 1$

把以上这种关系代入(1)式即得:

$$\begin{aligned} Z_{2k} &= \frac{B\dot{I}_{2n} + (A-1)\dot{U}_{2n}}{C\dot{U}_{2n} + (D+1)\dot{I}_{2n}} = \\ &= \frac{B}{1+A} \cdot \frac{B(A+1)\dot{I}_{2n} + (A^2-1)\dot{U}_{2n}}{BC\dot{U}_{2n} + B(D+1)\dot{I}_{2n}} = \\ &= \frac{B}{1+A} = \frac{Z_{oA} \operatorname{sh} \theta}{1 + \operatorname{ch} \theta} = Z_{oA} \operatorname{th}\left(\frac{\theta}{2}\right) \end{aligned}$$

将上式按无穷级数展开即得:

$$Z_{zk} = Z_{0A} \left[\frac{\theta}{2} - \frac{1}{3} \left(\frac{\theta}{2} \right)^3 + \frac{2}{15} \left(\frac{\theta}{2} \right)^5 - \dots \right] \quad (2)$$

取近似值則

$$Z_{zk} \approx Z_{0A} \frac{\theta}{2} = \frac{l}{2} Z_A = \frac{1}{2} (\gamma_0 + j\omega l_0) l \quad (3)$$

式中 Z_{0A} —— 線路的特性阻抗；

Z_A —— 線路的全阻抗；

γ_0 —— 線路單位長度的電阻；

l_0 —— 線路單位長度的電感；

l —— 線路長度。

对于長距离輸电线，利用(2)式和(3)式計算出的差值不超过1%，因此(3)式完全可以用来計算 Z_{zk} 之值。

輔助互感器 TKII 是專用来調整 Z_{zk} 之值的。互感器 TKII 的磁导体具有空气隙，用以保证电流值成綫性变化关系。

C_2 、 R_2 、 C_3 、 R_3 为电容-电阻式負序濾過器，它从电压互感器和互感器 TKII 取来的电气量 $\dot{U} - jZ_k$ 濾過其負序部分，即 $\dot{U}_2 - jZ_{zko}$ 。

稳定变压器 CTII 的作用是保护整流器 B1 在短路电流值很大时不致承受过大的电压。

$3\dot{I}_{op} = |3\dot{I}_o - 3\dot{U}_o Y_{ok}|$ 零序濾過器中之 $3\dot{U}_o Y_{ok}$ 一項是为补偿線路的电容电流而設置的。当被保护区以外短路时，应使被保护線路兩端保护裝置中的零序电流数值相等而相位相反（以同方向流动时的相位为反相）。满足上述要求的条件应为：

$$\dot{I}_{op} + \dot{U}_{on} Y_{ok} = \dot{I}_{om} - \dot{U}_{om} Y_{ok}$$

$$\text{即 } Y_{ok} = \frac{I_{om} - I_{on}}{U_{om} + U_{on}}$$

类似(2)式的推导方法，可得：

$$Y_{ok} = \frac{A-1}{B} = \frac{\cosh \theta - 1}{Z_{ok} \sinh \theta} = \frac{1}{Z_{ok}} \operatorname{th}\left(\frac{\theta}{2}\right)$$

$$\text{或 } Y_{ok} = \frac{1}{Z_{ok}} \left[\frac{\theta}{2} - \frac{1}{3} \left(\frac{\theta}{2} \right)^3 + \frac{2}{15} \left(\frac{\theta}{2} \right)^5 - \dots \right] \quad (4)$$

$$Y_{ok} \approx \frac{1}{Z_{ok}} \cdot \frac{\theta}{2} = \frac{1}{2} Y_A = \frac{1}{2} j \omega C l \quad (5)$$

式中 Y_A —— 線路的全導納；

C —— 線路單位長度的電容；

l —— 線路長度。

飽和互感器 TIIH 有兩方面的作用，一方面用來保護整流器 $B2$ 不承受過電壓，再方面用來調整 Y_{ok} 之值。

設 w_T 表示互感器 TIIH 的電流線圈匝數， w_H 表示互感器 TIIH 的電壓線圈匝數，為了補償線路的電容電流，須使電容電流在互感器 TIIH 上產生的安匝數與零序電壓在互感器 TIIH 上產生的安匝數相等；為使電容電流與零序電壓的相位一致，在零序電壓回路內串接電容器 C_8 ，於是可列出以下等式：

$$\frac{3I_{oc}W_T}{n_T} = -j \frac{3U_0}{x_{c8}n_H} W_H \quad (6)$$

式中 $3I_{oc}$ —— 一次側電容電流；

$-jU_0$ —— 一次側零序電壓；

x_{c8} —— 電容 C_8 的阻抗值；

n_T 及 n_H —— 电流互感器的變比，电压互感器的變比。

補償條件是 $3I_{oc} = Y_{ok} 3U_0$ ，代入(6)即得：

$$|Y_{ok}| = \frac{1}{x_{c8}} \cdot \frac{W_H}{W_T} \cdot \frac{n_T}{n_H} \quad (7)$$

調整 x_{c8} 之值即可整定 Y_{ok} 之值。

启动元件的灵敏度，由調整極化繼電器 ПР1 和 ПР2 的動

作电流而定。

繼电器 HP2 在 $I_{op}=0$ 和制动线圈 HP2_T 接通时，按负序电压 U_{2p} 整定，有三种整定值即 5、6、7 伏。繼电器 HP2 在 $U_{3p}=0$ 和制动线圈 HP2_T 接通时，按零序电流 $3I_{op}$ 整定，亦有三种整定值即 0.4、0.5、0.6 安。

繼电器 HP2 和 HP1 的动作电压的比值，当繼电器 HP2 制动线圈接通时，等于 2，当繼电器 HP2 制动线圈断开时，等于 1.4。

根据运行可能出现的不平衡情况以及各种短路故障情况，在保証足够灵敏度的条件下选定启动元件的整定值。也即是說，当全相运行的线路在一相断开时，繼电器 HP2 不应动作，而在被保护区以内发生各种短路故障时，繼电器 HP2 和 HP1 应保証以足够的灵敏度动作。

启动元件的灵敏度在负序和零序同时作用下，可由灵敏度特性曲线查出。图 3 表示整定值調整到 $U_{2p} = 5$ 伏和 $3I_{op} = 0.4$ 安时的启动元件灵敏度特性曲线。当故障所反应的 U_{2p} 和 $3I_{op}$ 为已知时，即可查得 $k_s = I_p/I_{cp}$ 的数值。

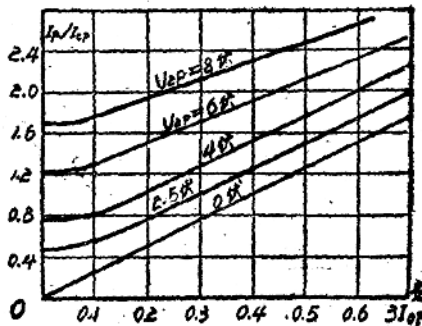


图 3 当整定值調到 $U_{2p} = 5$ 伏和 $3I_{op} = 0.4$ 安时的启动元件灵敏度特性曲线

2) 高频发讯器操作元件

如图 1 中所示，高频发讯器操作元件由复式滤过器 ($J_1 +$

k_i ,型)、中間互感器TY、电压稳定器OT、电容 C_1 、线路电容电流补偿装置、频率滤过器等所组成。这种高频发讯器操作元件的特点是可以防止线路电容电流以及过渡过程中谐波的影响。

电容电流补偿装置由正、负序电压滤过器(电阻-电容式的)和中間互感器TKY1和TKY2所组成。补偿电容电流有两种可能的方案,一种方案是考虑在线路两侧进行补偿,而另一种方案是考虑在线路一侧进行补偿。当采用第一种方案时,在带电投入故障线路的情况下,由于被保护线路两侧的两个半套保护装置所用的电压互感器都直接接到线路侧,保护装置将不动作。这是第一种方案的一大缺点。当采用第二种方案时,这个缺点即可以避免。因为采用第二种方案可以借遮断器或三相重合闸装置的闭锁接点将高频发讯器闭锁。也即是說当线路三相断开时,借闭锁接点而将补偿装置闭锁。对于第一种方案采用这种闭锁方法是不可能的,因为,当非故障线路每相不同投入时,由于仅在半套保护装置上有补偿,这就有可能产生足以操作高频发讯器的电压,使保护装置产生误动作。

具体实现电容电流的补偿方法可参阅图4。

图4中的向量数值都以换算至互感器TY二次侧表示。图中符号:

$\dot{E}'_T = i_1 + k_i$, 滤过器从线路电容电流供给的电势;

\dot{E}'_{1H} —电阻-电容式正序电压滤过器的电势;

\dot{E}'_{2H} —电阻-电容式负序电压滤过器的电势;

$Z'_{KT} = i_1 + k_i$, 滤过器和互感器TY的阻抗(当 $i_1 + k_i$, 滤过器一次回路开路时换算至TY互感器二次侧的阻抗值);

R_m —电压稳定器的阻抗。

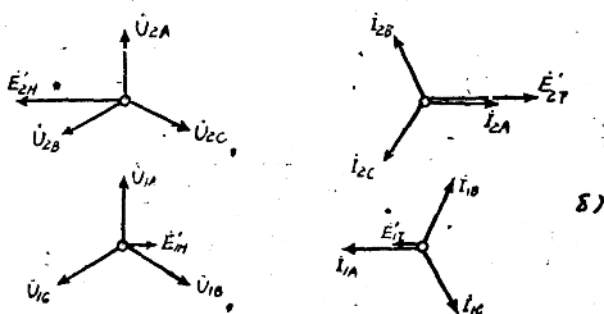
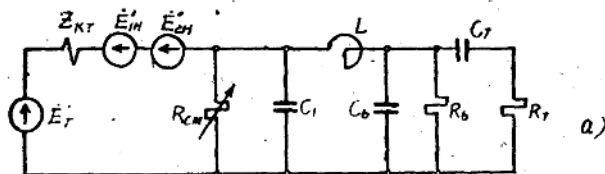


图4 高频发讯器操作元件的a)等价回路和b)向量图

由于补偿装置的电压滤过器和互感器 T_{KY1} 和 T_{KY2} 的阻抗，换算至互感器 T_{KY1} 和 T_{KY2} 的二次侧的数值很小，所以在图4中未能考虑。

电势 E'_{1T} 可以被认为是由正、负序的总电势，正序电势和负序电势由下式所决定：

$$E'_{1T} = \frac{2R\dot{I}_1}{k+1} n_y \quad (8)$$

$$E'_{2T} = \frac{2kR\dot{I}_2}{k+1} n_y \quad (9)$$

式中 $k = \dot{I}_1 + k\dot{I}_2$ 滤过器的系数；

$R = \dot{I}_1 + k\dot{I}_2$ 滤过器的电阻；

n_y ——互感器TY的变比。

为了达到电容电流补偿条件的要求，必须使 \dot{E}'_{1H} 、 \dot{E}'_{2H} 和 \dot{E}'_{1T} 、 \dot{E}'_{2T} 在数值上相等而相位上相反，亦即 $\dot{E}'_{1H} = -\dot{E}'_{1T}$ ， $\dot{E}'_{2H} = -\dot{E}'_{2T}$ 。从图46)中的向量关系可以写出：

$$\dot{E}'_{1H} = 1.5 \sqrt{3} \dot{U}_{1B} e^{j30^\circ} n_{ky1} \quad (10)$$

$$\dot{E}'_{2H} = -1.5 \sqrt{3} \dot{U}_{2C} e^{j30^\circ} n_{ky2} \quad (11)$$

式中 \dot{U}_{1B} 和 \dot{U}_{2C} ——B 相和 C 相在滤过器引入端上的正序电压和负序电压；

n_{ky1} 和 n_{ky2} ——互感器TKY1和TKY2的变比。

从图46)中可以看出， \dot{E}'_{1T} 和 \dot{E}'_{1H} 的相位相反， \dot{E}'_{2T} 和 \dot{E}'_{2H} 的相位相反，但其向量的绝对值不一定相等，需要靠调整互感器TKY1和TKY2变比来达到相等。

调整 n_{ky1} 和 n_{ky2} 可根据补偿条件来进行。如果采用第一种补偿方案时，则根据(5)式可类似求得：

$$Y_{1K} = Y_{2K} = \frac{1}{2} j\omega Cl$$

$$\text{或 } Y_{1K} = Y_{2K} = \frac{1}{2} j\omega Cl \frac{n_H}{n_T} \quad (12)$$

令(8)式的绝对值等于(10)式的绝对值，(9)式的绝对值等于(11)式的绝对值，则得：

$$n_{ky1} = \frac{2Rn_y}{1.5\sqrt{3}(k+1)} \cdot \frac{I_1}{U_1} = \frac{2Rn_y}{1.5\sqrt{3}(k+1)} Y_{1K} \quad (13)$$

$$n_{ky2} = \frac{2kRn_y}{1.5\sqrt{3}(k+1)} \cdot \frac{I_2}{U_2} = \frac{2kRn_y}{1.5\sqrt{3}(k+1)} Y_{2K} \quad (14)$$

把(12)式代入(13)式和(14)式即得：

$$n_{ky1} = \frac{\omega CRln_y}{1.5\sqrt{3}(k+1)} \cdot \frac{n_H}{n_T} \quad (15)$$

$$n_{ky2} = \frac{\omega CkRln_y}{1.5\sqrt{3}(k+1)} \cdot \frac{n_H}{n_T} \quad (16)$$

如果采用第二种补偿方案时，则可将(15)式和(16)式中的 n_{ky_1} 和 n_{ky_2} 的匝数减半，即

$$n'_{ky_1} = \frac{\omega CRln_y}{1.5\sqrt{3} \cdot 2(k+1)} \cdot \frac{n_H}{n_T} \quad (17)$$

$$n'_{ky_2} = \frac{\omega CRkln_y}{1.5\sqrt{3} \cdot 2(k+1)} \cdot \frac{n_H}{n_T} \quad (18)$$

高頻发訊器操作元件的频率濾过器，由电感 L 、电阻 R_6 和 R_7 、电容 C_6 和 C_7 組成。频率濾过器的任务是限制高次諧波或低次諧波电流通向高頻发訊器，亦即仅允許50赫芝电流通向高頻发訊器。此外，为了加速保护裝置的动作時間，应限制短路电流非周期分量通向高頻发訊器，频率濾过器中的 C_7 ，即起限制非周期分量通过的作用。

当濾过器 $I_1 + kI_2$ 輸出端的电流效值变化时，要求在高頻发訊器操作元件輸出端上的电压相位保持于不变。为此，频率濾过器应由电容和电阻組成。

频率濾过器的参数，是按照在频率为50赫芝时频率濾过器的阻抗为有效阻抗的条件来选择的。当频率为50赫芝时，使频率濾过器的阻抗为下列关系：

$$R_7 = R_6; \quad x_{C6} = x_{C7} = \frac{R_6}{2}; \quad x_L = 0.3R_6 \quad (19)$$

频率濾过器在50赫芝时的阻抗等于 $0.25R_6$ 。

频率濾过器在50赫芝时的傳輸系数(即濾过器的輸出电压对输入电压的比值)等于1.2。由于频率濾过器的輸出电压提高了一些，所以高頻发訊器操作元件的灵敏度也相应地提高了一些。

高頻发訊器操作元件的频率特性曲綫如图5所示。从图5中曲綫可以看出，在高次諧波或低次諧波情况下，频率濾过器都有良好的限制作用。